

Yb₂O₃의 전기 전도도

강영환*, 최재시, 윤기현

*한국에너지연구소, 연세대학교

(1981년 1월 14일 접수)

Electrical Conductivity of Ytterbium Sesquioxide (Yb₂O₃)

Yung-Hwan Kang*, Jae-Shi Choi and Ki-Hyun Yoon

*Korea Advanced Energy Research Institute and Yonsei University

(Received Jan. 14, 1981)

ABSTRACT

The electrical conductivity of highly pure polycrystalline Yb₂O₃ has been measured from 650 to 1050°C under oxygen pressure range of 10⁻⁶ to 10² torr. The conductivity dependence of oxygen pressure in the temperature region from 750 to 1050°C is approximated by $\sigma \propto P_{O_2}^{1/5.3}$. This shows that the conduction mechanism is associated with doubly ionized metal vacancies.

Fairly low activation energy and the lack of oxygen pressure dependence are found over the temperature range of 650 to 750°C. The conduction mechanism can be explained by not metal vacancies, but hopping oxygen ions in the oxide.

1. 서 론

일반적으로 산화물의 전기 전도성에 있어서 가장 중요한 문제는 전도 운반체 (conduction carrier)가 이온인가 전자인가에 따라 반도성이 이온성 혹은 전자성으로 구분될 수 있다. 란탄족 산화물은 순수한 전자성 전도체¹⁻²⁾라는 이론, 완전한 이온성 전도체³⁾라는 이론 또는 일부 이온성을 포함한 전자성 전도체⁴⁻⁶⁾라는 이론 등 서로 상반된 이론이 제기되고 있다.

그리하여 이들의 전기 전도 기구는 완전한 체계가 차지하지 못하고 있는 실정이다. 그 예로 Noddak⁶⁾은 1atm 및 875~1573K 온도 영역 하에서 two probe method를 이용하여 순도가 99~99.5%인 일부 란탄족 산화물의 전기 전도성을 주로 전자성에 기인하여 0.01% 이하의 이

온성을 갖고 있다고 보고하였다. 그러나 Tare³⁾는 solid state emf method로 전도도를 600~900°C 및 1~10⁻²⁰ atm 하에서 순도 99.9%의 Sm₂O₃ 및 Gd₂O₃에 대하여 측정한 결과 이들은 완전한 이온성 반도체임을 밝힌 바 있다.

란탄족 산화물의 물성에 있어서 몇몇 산화물(예, PrO₂, PrO₃, CeO₂ 등)을 제외하고는 이를 산화물의 정확한 산소 확산 기구 및 전기 전도도성에 관한 연구가 부진하였다.

따라서 본 연구에서는 중 란탄족 산화물의 일종인 Y₂O₃의 전기전도기구를 규명하는데 그 목적이 있다.

2. 실험

1. 시편 제조

American Potash & Chemical Co.의 분광학적 순도 (99.998%)를 갖는 Yb_2O_3 분말을 600°C에서 6시간 동안 전공속에서 열처리하여 흡수하였을지도 모르는 H_2O 및 CO_2 등을 완전히 제거한 다음 500 kg/cm²에 압력으로 두께가 약 1 cm 정도의 pellet을 만들었다.

이것을 1050°C 및 대기압하에서 24시간동안 소결한 후로(furnace)에서 꺼내 상온에서 냉각시켰다. 이렇게 만든 시료를 0.1 cm × 0.8 cm × 0.5 cm의 크기로 자르고 이 직육면체 시료에다 drill로 4개의 구멍을 파서 four probe method를 위한 hole로 사용하였다.

2. 전기 전도도의 측정

전기 전도도 측정 장치 및 실험과정은 이미 발표된 저자들의 논문⁷⁻⁸⁾에 의거 standard four probe d. c. method를 택하였으며 시편과 전극과의 접촉은 drill로 판 시편의 구멍에 전극의 백금선을 뿐만 아니라 접촉한 후 온도 변화에 구애됨이 없이 일정한 ohmic contact를 유지하도록 하였다⁹⁾.

이때 전기 전도도의 계산은 Valdes의 이론¹⁰⁾에 의거하였다.

본 실험에서는 600~1050°C의 온도 범위와 $10^{-5} \sim 10^2$ torr의 산소 분압하에서 산소 압력 의존성 및 온도 변화에 따른 전기 전도도를 측정하였다.

3. 실험결과 및 논의

Fig. 1은 Yb_2O_3 의 전기 전도도의 온도 이존성을 도시한 것으로서 전기 전도도는 산소 압력이 증가함에 따라 증가하였다. 그러나 등일한 산소 압력하에서 온도의 이존성이 큰 영역과 작은 영역이 나타났으며, 온도의 이존성이 전환되는 온도(약 700°C)도 산소 압력 변화에 의존함을 보여준다. Fig. 1로 부터 구한 활성화 에너지 값을 Table 1에 수록하였다. 이 표에 의하면 활성화 에너지는 고온 영역의 값이 저온 영역의 값보다 크게 나타났다.

일반적으로 전기 전도도의 산소 압력 의존성은 일정한 온도에서 $\log \sigma = \log K(T) + 1/n \text{Po}_2$ 로 표시할 수 있다. 여기에서 σ 는 전기 전도도이며 $1/n$ 은 산소 압력의 존도를 나타낸 것이다.

Fig. 2는 일정한 온도에서 산소 압력 변화에 따른 전기 전도도의 변화를 나타낸 것으로서 온도가 증가됨에 따라 n 의 값은 5.3에서 5.6으로 변하였다. 즉 온도가 증가함에 따라 산소 압력 의존성 ($1/n$)은 감소하는 것으로 나타났다. 약 700°C 이상의 온도 영역에서의 전기 전도도는 산소 압력이 증가함에 따라 증가하는 것으로 보아 전자성 반도성임을 알 수 있다. 그러나 산소 압력 변화에 따라서 활성화 에너지가 약간씩 차

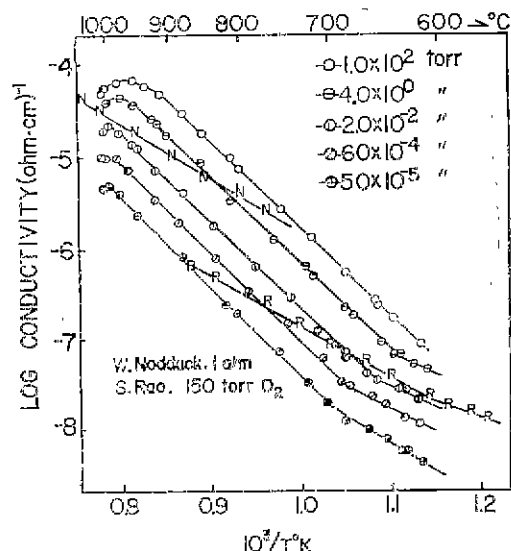
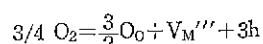


Fig. 1. Log conductivity vs. $10^3/T \text{ } ^\circ\text{K}$ for Yb_2O_3 under various oxygen pressures (torr.).

Table I. Activation Energies for Yb_2O_3 at Various Oxygen Pressures

Sample	Po_2 (torr.)	Activation Energy (Kcal/mole)	
		Low Temp. Region	High Temp. Region
Yb_2O_3	$(< 700^\circ\text{C})$	$(< 700^\circ\text{C})$	$(> 700^\circ\text{C})$
	1.0×10^2	17.8	44.2
	4.0×10^0	19.7	44.5
	2.0×10^{-2}	20.0	45.0
	6.0×10^{-4}	23.2	45.6
	5.0×10^{-5}	23.5	46.2

이가 나고 산소 압력 의존성이 온도 증가에 따라 증가하는 것으로 보아 순수한 전자성 전도를 하지 않는 것으로 볼수 있다. 약 700°C 이상의 온도에서는 산소 압력 의존도가 약 1/5.3의 값을 가지므로 이는 산소가 Yb_2O_3 의 결정 구조에 들어가 metal vacancy를 생성하고 이로 인한 hole이 생성하는 과정은 다음과 같이 쓸 수 있다¹⁰⁾.



이식에 mass action law를 적용하면

$$K_{\text{VM}''} = [\text{V}_M''] P^3 \text{Po}_2^{-3/4} e^{-E_a/T}$$

$[\text{V}_M'']$ 혹은 $P \propto \text{Po}_2^{3/16}$ 이다.

따라서 시료가 700°C 이상에 상당하는 에너지를 받

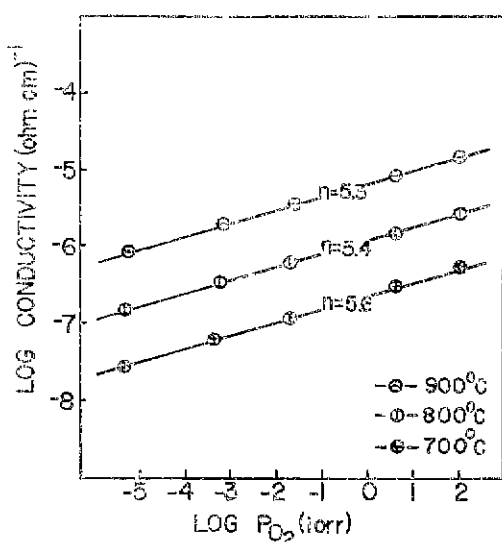


Fig. 2. Log conductivity vs. log P_{O₂} for Yb₂O₃ at various temperatures.

으면 중성의 금속 공위 (V_M^{∞})가 안정한 3 가의 이온화된 공위로 되어 전기 전도도에 기여한다고 하겠으며 1/5.3으로부터의 약간의 편기는 일부 이온성이 부여되기 때문이라고 할 수 있다. 이와 같은 결과는 전도기구가 이온성이라고 설정한 Tare³의 결과와는 상반되며 RaO⁴나 Noddak⁵의 결과 즉 전자성 반도체라고 설명한 사실과는 잘 일치한다.

일반적으로 탄탄계 산화물에서는 다른 금속 산화물과 달리 산소가 극히 이동하기 쉽고 금속 원자는 이동할 수 있음이 알려져 있다¹¹⁻¹². 특히 Eyring¹¹은 400°C에서 드 산소의 이동도가 크고 양이온 격자의 이동도는 1200°C 정도의 온도에서도 이동하기 어렵다고 밝혔다.

탄탄계 산화물의 반도성은 위와 같은 사실 이외도 다음과 같은 점에 의거하여 이온성 반도체의 성격을 갖는다고 할 수 있다.

첫째 일반적으로 탄탄계 산화물의 전기 전도도의 산소 압력 의존성이 산소 압력이 비교적 큰 영역 ($>10^{-6}$ torr)이 작은 영역보다 산소 압력 의존성이 더 크다^{6, 12}.

둘째 이들 산화물의 전기 전도도는 ac로 측정하였을 때와 dc로 측정하였을 때 차이가 난다. 특히 온도가 높은 영역 (700°C 이상)이 낮은 영역보다 차이가 많이 낸다¹⁰.

이와 같은 점에서 두개의 서로 다른 온도 의존성을 갖는 것은 결정의 상 변화에 기인된 것이 아니고 전도 기

구의 차이에 이한 것이라 할 수 있다. 그러므로 700°C 이상의 영역에서 보다 더 산소 압력 의존성이 떨어지는 것은 거의 일률적으로 생성된 이온들의 이동에 입각한 전기 전도에 의존하고 산소 압력이 증가하더라도 높은 온도가 되어야 충분히 금속 공위가 이온화를 통하여 전기 전도성을 기여할 수 있다고 하겠다.

따라서 Table 1에서와 같이 저온 영역에서 보다 고온 영역에서 더 큰 금속화 에너지 값을 갖는 것은 defect 생성에 필요한 에너지와 이온성 반도체의 이동에 필요한 에너지 값을 포함하고 있기 때문이다라고 하겠다. 약 700°C 이하의 온도 영역에서 낮은 환경화 에너지 값을 나타내는 것은 이를 단단계 산화물의 band gap이 작고 또한 금속 공위 근처에 있는 산소 이온들이 polarize되어 있어 이미 결정내에 존재하는 소수의 산소 결함으로 산화 이온이 이동하여 가는데 필요한 에너지를 자소시기로써 산소 이온은 풍자를 쉽게 hopping하여 전기 전도성을 갖는다고 하겠다. 이러한 결과는 Milner¹³의 실험 결과와 일치한다.

4. 결 론

Yb₂O₃는 약 700°C 이상의 온도 영역에서는 이온화한 금속공위로 인한 전자성 반도성을 가지며 P형 반도성 특성을 나타낸다.

약 700°C 이하의 온도 영역에서는 파딩으로 존재하는 산소 이온이 hopping 하므로써 이온성 반도성을 갖는다.

References

1. A. D. Neiman, V. B. Balakireva and S. F. Palgunov, "Electrical Conductivity and Nature of the Conductance of Rare Earth Oxides", Dokl. Akad. Nauk SSSR, 209, 1150 (1973)
2. G. V. Samsonov, I. Y. Gilman and A. F. Andreeva, "Structure of Rare Earth Metal Oxide Films", Izv. Akad. Nauk SSSR, Neorg Mater., 10, 1645 (1974)
3. V. B. Tare and H. S. Schatzki, "Ion and Electron Conductivity in Binary Oxides and Their Investigation with e. m. f. Measurements. Physik. Chem. N. F.", 43, 30 (1964)
4. G. V. Subba Rao, S. Ramda, P. N. Mehrotra and C. N. Ramachandra Rao, "Electrical Transport in Rare-Earth Oxides", J. Solid State Chem., 2, 377 (1970)
5. W. Noddak and H. Walch, "Electrical Conducti-

- vity of Oxides", Z. Electrochem., 63, 269 (1959)
6. T. H. Estell and S. N. Flengas, "Electrical Properties of Lanthanum Oxide-Calcium Oxide Solid Electrolytes", J. Electrochem Soc., 116, 771 (1968)
7. J. S. Choi and K. H. Yoon, "Electrical Conductivity of the Nickel Oxide- α Eerick Oxide System", J. Phys. Chem., 74, 1095 (1970)
8. K. H. Yoon, J. S. Choi and Y. H. Kang, "Defect Structure and Electrical Conductivity of Gadolinium Sesquioxide", J. Kor. Cer. Soc., 17(1) 5 (1980)
9. L. B. Valdes, "Resistivity Measurements on Germanium for Transistor", Proc. IRE, 42, 420 (1954)
10. C. D. Wirkus, M. F. Berard and D. R. Wilder, "Oxygen Diffusion in Gd₂O₃", J. Am. Cer. Soc., 52, 456 (1969)
11. L. Eyring and B. Holmberg, "Nonstoichiometric Compounds", (R. Ward ed.) Am. Chem. Soc., Washington, D. C., 1963, p. 46
12. N. M. Tallan and R. W. Vest, "Electrical Properties of Defect Structure", J. Am. Cer. Soc., 49, 401 (1966)
13. A. E. Miller and A. H. Daanne, "Preparation of a Type of Nonstoichiometric Rare Earth Oxide." J. Inorg. Nucl. Chem., 27, 1955 (1965)